## Доклады Академии наук СССР 1973. Том 210, № 2

УДК 550.4.43

ПЕТРОГРАФИЯ

## Ю. С. ГЕНШАФТ, В. А. МОЛЧАНОВА, В. А. КУТОЛИН УСТОЙЧИВОСТЬ ВЕБСТЕРИТА В ВЕРХНЕЙ МАНТИИ

(Представлено академиком Ю. А. Кузнецовым 21 XII 1971)

В настоящее время большинство петрологов предполагает существенно перидотитовый состав верхней мантии. Это мнение подкрепляется преобладающим распространением оливиновых гипербазитов среди включений в кимберлитах и базальтах. Однако было высказано предположение, что обилие перидотитовых включений может быть связано с большей устойчивостью оливина по сравнению с пироксенами в базальтовой магме, поэтому содержание пироксенитов в пределах верхней мантии должно быть выше, чем их доля среди ультраосновных нодулей (1). Интерес к пироксенитовому веществу обусловлен и последними данными по лунным породам. В ряде работ лунные базальты рассматриваются как дериваты первичного пироксенитового вещества Луны (2).

Ранее одним из авторов данного сообщения изучалась кристаллизация бедного  ${\rm Al}_2{\rm O}_3$  пироксенита (ксенолита с Авачинского вулкана, Камчатка) до давлений 70 кбар ( $^3$ ). Была показана устойчивость пироксена и отсутствие кристаллизации граната и оливина при высоких температурах и давлениях

В данной работе исследовалась устойчивость одного из типов глиноземистых пироксенитов — вебстерита при высоких давлениях и температурах, соответствующих условиям в верхней мантии Земли. Образец представлял собой включение в щелочном базальте, заполняющем трубку взрыва в Минусинском межгорном прогибе у оз. Беле. Как показал А. В. Крюков (4), трубки взрыва состоят из эксплозивных брекчий, внедрившихся в две или три фазы, и более поздних базальтов, рассекающих брекчии в виде жил и серповидных тел. Химический и нормативный составы вебстерита приведены в табл. 1.

Порода сложена моноклинным пироксеном (хромдиопсид) в количестве 55%, ромбическим пироксеном (бронзит) 37%, плакиоклазом (лабрадор—андезин) 5%, гранатом 2% и рудным минералом 1%. Структурные взаимоотношения минералов показывают, что плагиоклаз является здесьвторичным образованием, развившимся по трещинам между пироксенами под воздействием вмещающего пироксенит базальта.

Таблица 1 Химический и нормативный составы вебстерита

Компонент	Содерж.,	Компонент	Содерж., вес.%	Компонент	Содерж., вес.%
$\begin{array}{c} \mathrm{SiO_2} \\ \mathrm{TiO_2} \\ \mathrm{Al_2O_3} \\ \mathrm{Fe_2O_3} \\ \mathrm{FeO} \\ \mathrm{MnO} \\ \mathrm{MgO} \\ \mathrm{CaO} \end{array}$	51,58 0,42 7,19 Не обн. 6,18 0,16 19,90 11,07	$\begin{array}{c} Na_{2}O \\ K_{2}O \\ H_{2}O^{-} \\ H_{2}O^{+} \\ P_{2}O_{5} \\ Cr_{2}O_{3} \\ \Sigma \\ Ap \end{array}$	1,00 0,28 0,16 1,34 0,16 0,47 99,91 0,34	Ilm Mt Ort Ab An Di Hy Ol	$\left(\begin{array}{c}0,76\\0,46\\1,66\\8,38\\15,02\\31,94\\25,62\\15,99\end{array}\right)$

Эксперименты проводились по методу закалки (5, 6) при давлениях от 15 до 70 кбар и температурах от 1000 до 1800° в присутствии небольшого количества воды (до 2 вес.%). Как и ранее, опыты проводились по схемам одно- и двухстадийной кристаллизации (5). В последнем случае при данном давлении температура сначала поднималась выше ликвидуса, а затем после некоторой выдержки быстро снижалась до заданного значения T, при котором проводилась кристаллизация расплава. При этом в продукты кристаллизации могли частично войти и закалочные фазы.

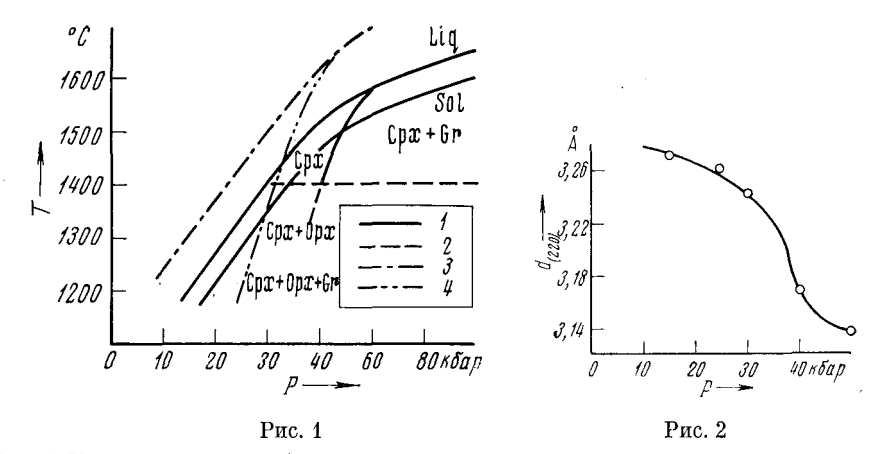


Рис. 1. Кристаллизация вебстерита при высоких давлениях и температурах. 1—граничные линии по нашим данным; 2—линия, отделяющая область кристаллизации ромбических пироксенов (внизу); 3—линия солидуса; 4—линия гранатизации пироксенита по дапным ( $^2$ ). Opx—ромбический пироксен, Cpx—клинопироксен, Gr—гранат, Lig—ликвидус, Sol—солидус

Рис. 2. Изменение величины межплоскостного расстояния для клиноппроксенов, кристаллизующихся вдоль линии ликвидуса

Результаты проведенных экспериментов представлены на рис. 1. В координатах давление — температура даны кривые солидуса и ликвидуса вебстерита, а также границы существования различных минеральных парагенезисов. Температуры солидуса оценены весьма приблизительно из-за обилия реликтовых и закалочных фаз. По нашим оценкам, интервал сосуществования жидкой и кристаллической фаз составляет около 50° при всех давлениях. Температура ликвидуса повышается от 1200° при давлении 15 кбар до 1580° при 50 кбар и до 1650° при 70 кбар. В области давлений от 50 до 70 кбар кривая плавления вебстерита заметно выполаживается. На диаграмме можно выделить три области давлений, различающихся по минеральным парагенезисам и количественным соотношениям кристаллических фаз.

В интервале давлений 15-30 кбар из расплава кристаллизуется двупироксеновая ассоциация минералов, причем по мере повышения давления количество клинопироксена по отношению к ромбическому пироксену возрастает. Так, если при давлении 15 кбар кристаллизуется до 80% ортопироксена, то при давлениях 25-28 кбар количество клинопироксена возрастает до 85%, а при давлении 30 кбар при температурах выше температуры солидуса кристаллизуется только клинопироксен. Вероятно, такой характер кристаллизации вебстерита объясняется увеличением растворимости ортопироксена в клинопироксене при повышении температуры (7). Стекло, соответствующее выплавкам при давлениях до 25 кбар, имеет показатель преломления n=1,623. При давлениях выше 25 кбар для стекла n=1,605-1,608.

В интервале давлений 30-40 кбар из расплава кристаллизуется только моноклинный пироксен. По данным рентгеновских исследований но-

вообразованного пироксена, с увеличением давления кристаллизации происходит уменьшение межплоскостного расстояния  $d_{(220)}$  (см. рис. 2). Это можно объяснить увеличивающейся растворимостью ортопироксена в клинопироксене при давлениях около 30 кбар, что соответствует температурам кристаллизации около  $1400^{\circ}$  (7, 8).

При давлениях выше 40 кбар наблюдается парагенезис минералов, включающий в себя гранат. Максимальное количество граната в парагенезисе составляет в наших экспериментах 15%. Судя по показателю пре-

ломления граната (N = 1,708), он близок по составу к пиропу.

При всех давлениях наблюдалась кристаллизация рудного минерала в количестве около  $2-5\,\%$ 

Сравнение полученной нами P, T-диаграммы вебстерита с диаграммой для пироксенита по A. Рингвуду (2) показывает, что в обоих случаях наблюдалась одинаковая схема изменения минеральных парагенезисов под давлением (см. рис. 1). Различия в положениях фазовых границ объяснимы за счет различий в химическом составе образцов и присутствия в наших условиях небольшого количества волы.

Сравнение нормативного и модального минерального состава вебстерита с полученными данными показывает, что глиноземсодержащие пироксениты могут быть устойчивыми в пределах верхней мантии до глубин около 100 км. В этих условиях эволюция пироксенитового вещества будет

определяться кристаллизацией только двух пироксенов.

Поступило 4 X 1971

## **ПИТИРОВАННАЯ ЛИТЕРАТУРА**

<sup>1</sup> V. A. Kutolin, V. M. Frolova, Contr. Mineral, and Petrol., **29**, 163 (1970). <sup>2</sup> A. E. Ringwood, J. Geophys. Res., **75**, 6453 (1970). <sup>3</sup> Ю. С. Геншафт, В. В. Наседкий и др., ДАН, 195, 441 (1970). <sup>4</sup> А. В. Крюков, Геология юго-западного обрамления Сибирской илатформы, М., 1964. <sup>5</sup> Ю. С. Геншафт, В. В. Наседкий и др., Изв. АН СССР, сер. геол., № 6, 18 (1967). <sup>6</sup> Ю. С. Геншафт, В. В. Наседкий и др., Изв. АН СССР, сер. геол., № 12, 31 (1968). <sup>7</sup> F. R. Воу d, Carnegie Inst. of Washington, Year Book, 65, 253 (1966). <sup>8</sup> Экспериментальная петрология и минералогия, М., 1969, стр. 65.